

# Datenblatt



## BG3

Reflexionsfaktor	
$P_d$	0,921

Referenzdicke	
d [mm]	1

Spektrale Garantiewerte		
$\tau_i$ (365nm)	$\geq$	0,94
$\tau_i$ (633nm)	$\leq$	0,00005

Brechzahl n	
n (302.1 nm) =	1.548
n <sub>d</sub> (435.8 nm) =	1.520
n <sub>F</sub> (480.0 nm) =	1.516
n <sub>F</sub> (486.1 nm) =	1.516
Sellmeierkoeffizienten auf Anfrage erhältlich	

Dichte	
$\rho$ [g/cm <sup>3</sup> ]	2,56

Blasenhaltigkeit	
Blasenklasse	1

Chemische Haltbarkeit	
FR Klasse	0
SR Klasse	1.0
AR Klasse	1.0

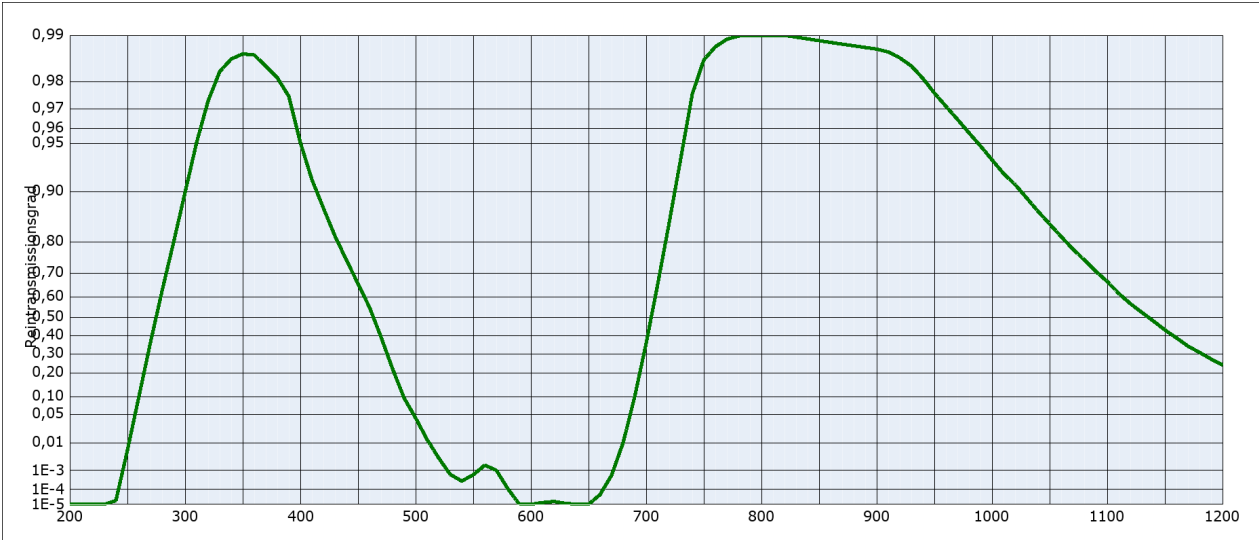
Transformationstemperatur	
T <sub>g</sub> [°C]	478

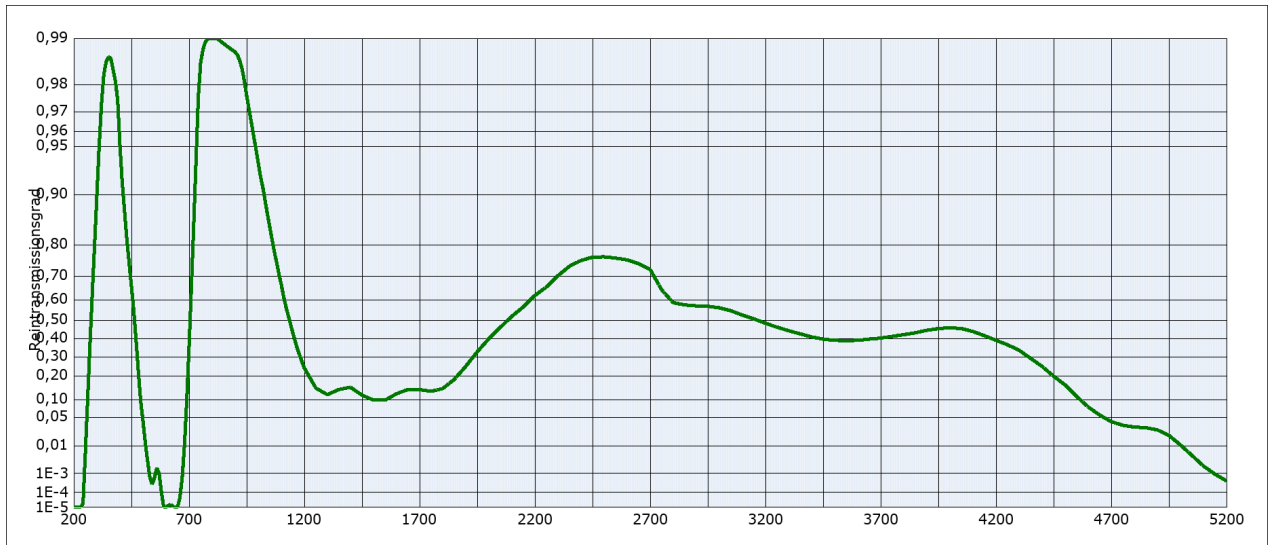
Wärmeausdehnung	
$\alpha_{30/+70^\circ\text{C}}$ [10 <sup>-6</sup> /K]	8,8
$\alpha_{20/300^\circ\text{C}}$ [10 <sup>-6</sup> /K]	10,2
$\alpha_{20/200^\circ\text{C}}$ [10 <sup>-6</sup> /K]	

Temperaturkoeffizient	
T <sub>K</sub> [nm/°C]	

Bemerkungen	
Ionengefärbtes Glas	
Bandpassfilter	
☀	
Transmissionsänderungen sind durch	
Einwirkung starker ultravioletter	
Strahlung möglich.	
Alle Angaben ohne Toleranzen sind	
als Richtwerte zu verstehen.	
Spezifizierte Werte sind lediglich die	
unter "Spektrale Garantiewerte"	
aufgeführten Angaben.	

Farbmetrische Auswertung																			
Lichtart		A (Planck T = 2856 K)			Lichtart			Planck T = 3200 K			Lichtart			D65 (T <sub>c</sub> = 6504 K)					
d [mm]		1	2	3	d [mm]		1	2	3	d [mm]		1	2	3	d [mm]		1	2	3
x		0,160	0,166	0,170	x		0,157	0,163	0,167	x		0,154	0,160	0,163	x		0,154	0,160	0,163
y		0,042	0,024	0,020	y		0,038	0,022	0,018	y		0,029	0,018	0,014	y		0,029	0,018	0,014
Y		1	0	0	Y		1	0	0	Y		2	1	0	Y		2	1	0
$\lambda_d$ [nm]		458	447	440	$\lambda_d$ [nm]		457	447	442	$\lambda_d$ [nm]		455	448	444	$\lambda_d$ [nm]		455	448	444
P <sub>e</sub>		0,96	0,98	0,98	P <sub>e</sub>		0,97	0,98	0,99	P <sub>e</sub>		0,98	0,99	1,00	P <sub>e</sub>		0,98	0,99	1,00





**Reintransmissionsgrad  $\tau_i$  bei der Referenzdicke  $d = 1 \text{ mm}$**   
**Die Reintransmissionsgrade, tabellarisch und graphisch, sind als Richtwerte zu verstehen.**

$\lambda$ [nm]	$\tau_i$	$\lambda$ [nm]	$\tau_i$	$\lambda$ [nm]	$\tau_i$	$\lambda$ [nm]	$\tau_i$	$\lambda$ [nm]	$\tau_i$	$\lambda$ [nm]	$\tau_i$
200	$< 10^{-5}$	500	$4,3 \cdot 10^{-2}$	800	0,990	1100	0,667	2200	0,620	3700	0,404
210	$< 10^{-5}$	510	$1,3 \cdot 10^{-2}$	810	0,990	1110	0,615	2250	0,657	3750	0,413
220	$< 10^{-5}$	520	$3,2 \cdot 10^{-3}$	820	0,990	1120	0,568	2300	0,701	3800	0,423
230	$< 10^{-5}$	530	$6,4 \cdot 10^{-4}$	830	0,990	1130	0,525	2350	0,735	3850	0,433
240	$1,9 \cdot 10^{-5}$	540	$3,0 \cdot 10^{-4}$	840	0,989	1140	0,480	2400	0,754	3900	0,446
250	$6,1 \cdot 10^{-3}$	550	$6,2 \cdot 10^{-4}$	850	0,989	1150	0,432	2450	0,764	3950	0,456
260	0,103	560	$1,7 \cdot 10^{-3}$	860	0,989	1160	0,388	2500	0,765	4000	0,460
270	0,364	570	$1,0 \cdot 10^{-3}$	870	0,989	1170	0,343	2550	0,761	4050	0,456
280	0,626	580	$1,1 \cdot 10^{-4}$	880	0,988	1180	0,308	2600	0,756	4100	0,440
290	0,798	590	$< 10^{-5}$	890	0,988	1190	0,273	2650	0,743	4150	0,417
300	0,899	600	$< 10^{-5}$	900	0,988	1200	0,241	2700	0,724	4200	0,392
310	0,951	610	$1,3 \cdot 10^{-5}$	910	0,987	1250	0,146	2750	0,644	4250	0,367
320	0,973	620	$1,6 \cdot 10^{-5}$	920	0,986	1300	0,120	2800	0,587	4300	0,337
330	0,983	630	$1,2 \cdot 10^{-5}$	930	0,984	1350	0,141	2850	0,576	4350	0,293
340	0,986	640	$< 10^{-5}$	940	0,981	1400	0,150	2900	0,572	4400	0,250
350	0,987	650	$< 10^{-5}$	950	0,976	1450	0,118	2950	0,570	4450	0,200
360	0,987	660	$4,7 \cdot 10^{-5}$	960	0,971	1500	0,100	3000	0,562	4500	0,160
370	0,984	670	$5,9 \cdot 10^{-4}$	970	0,965	1550	0,100	3050	0,548	4550	0,113
380	0,981	680	$1,0 \cdot 10^{-2}$	980	0,957	1600	0,124	3100	0,526	4600	$7,8 \cdot 10^{-2}$
390	0,975	690	0,100	990	0,948	1650	0,141	3150	0,507	4650	$5,6 \cdot 10^{-2}$
400	0,951	700	0,359	1000	0,937	1700	0,140	3200	0,484	4700	$4,2 \cdot 10^{-2}$
410	0,916	710	0,655	1010	0,923	1750	0,133	3250	0,463	4750	$3,5 \cdot 10^{-2}$
420	0,874	720	0,846	1020	0,910	1800	0,144	3300	0,444	4800	$3,2 \cdot 10^{-2}$
430	0,815	730	0,938	1030	0,891	1850	0,185	3350	0,427	4850	$3,1 \cdot 10^{-2}$
440	0,745	740	0,976	1040	0,868	1900	0,250	3400	0,410	4900	$2,7 \cdot 10^{-2}$
450	0,658	750	0,986	1050	0,843	1950	0,328	3450	0,398	4950	$2,0 \cdot 10^{-2}$
460	0,550	760	0,988	1060	0,813	2000	0,400	3500	0,392	5000	$1,1 \cdot 10^{-2}$
470	0,393	770	0,989	1070	0,780	2050	0,462	3550	0,390	5050	$5,1 \cdot 10^{-3}$
480	0,222	780	0,990	1080	0,746	2100	0,520	3600	0,392	5100	$2,0 \cdot 10^{-3}$
490	$9,7 \cdot 10^{-2}$	790	0,990	1090	0,706	2150	0,567	3650	0,398	5150	$9,1 \cdot 10^{-4}$